

УДК 539.3

## ЭФФЕКТЫ ВТОРОГО ПОРЯДКА И ПРИНЦИП СЕН-ВЕНАНА В ЗАДАЧЕ КРУЧЕНИЯ НЕЛИНЕЙНО-УПРУГОГО СТЕРЖНЯ

В. В. Калашников, М. И. Карякин

Ростовский государственный университет, 344090 Ростов-на-Дону

E-mails: kalashnikovv@inbox.ru, karyakin@math.rsu.ru

Проведено сравнение решения задачи о кручении кругового нелинейно-упругого стержня торцевыми моментами методом последовательных приближений при учете эффектов второго порядка с решением той же задачи полуобратным методом. Показано, что предположение о “мертвом” характере нагрузки приводит к нарушению симметричности тензора напряжений Коши в некоторой области. Предложена более точная формулировка принципа Сен-Венана в задаче определения интегральных деформационных характеристик.

Ключевые слова: эффект Пойнтинга, полуобратный метод, эффекты второго порядка, принцип Сен-Венана.

**Введение.** При разработке многих современных высокоточных устройств необходимо с достаточно большой степенью точности учитывать эффекты физической и геометрической нелинейности. (Например, при проектировании и калибровке стержневого динамометра требуется учитывать эффект Пойнтинга — удлинение стержня в процессе кручения.)

Исследование данной проблемы сводится к нахождению эффектов второго порядка в задаче о кручении нелинейно-упругого кругового стержня торцевыми моментами. Решению этой классической задачи посвящено большое количество работ, из которых в первую очередь следует выделить работы А. И. Лурье. В его монографии [1] для учета эффектов второго порядка в задачах о деформации тел различной формы предложен метод последовательных приближений. В работе [2] показано, что величина осевого удлинения цилиндра, вычисляемая методом последовательных приближений [1], и величина, полученная полуобратным методом, различаются. В данной работе показана причина различия: несмотря на то что интегральные характеристики (осевая сила и крутящий момент) внешней нагрузки в этих задачах совпадают, построенные решения соответствуют различным ее распределениям по торцевым поверхностям цилиндра. Кроме того, проанализировано влияние этого различия на величину интегральной деформационной характеристики — удлинение цилиндра.

**Метод последовательных приближений.** Описанный в [1] метод заключается в замене решения задачи о равновесии нелинейно-упругого тела вида

$$\overset{0}{\nabla} \cdot D + \rho_0 \mathbf{k} = 0; \quad (1)$$

$$\mathbf{n} \cdot D do = \mathbf{f} dO, \quad (2)$$

где  $\overset{0}{\nabla}$  — оператор градиента в отсчетной конфигурации;  $\rho_0$  — плотность тела в отсчетной конфигурации;  $\mathbf{k}$  — вектор массовых сил;  $\mathbf{n}$  — внешняя нормаль к поверхности;  $do$ ,  $dO$  — элементарные площадки поверхности в отсчетной и текущей конфигурации соответствен-

но;  $D$  — тензор напряжений Пиолы;  $\mathbf{f}$  — отнесенная к деформированной поверхности внешняя нагрузка, которая предполагается “мертвой”:

$$\mathbf{f} dO = \mathbf{f}^0 do, \quad (3)$$

последовательностью двух задач:

— линейной задачи

$$\overset{0}{\nabla} \cdot \sigma(\mathbf{v}) + \rho_0 \mathbf{k} = 0, \quad \mathbf{n} \cdot \sigma(\mathbf{v}) = \mathbf{f}^0; \quad (4)$$

— задачи об эффектах второго порядка

$$\overset{0}{\nabla} \cdot \sigma(\mathbf{w}) + \rho_0 \mathbf{k}_* = 0, \quad \mathbf{n} \cdot \sigma(\mathbf{w}) = \mathbf{f}_*, \quad (5)$$

основанной на решении предыдущей задачи. Здесь  $\mathbf{v}$  — линейный вектор перемещений в решении линейной задачи;  $\mathbf{w}$  — квадратичный вектор перемещений в решении задачи об эффектах второго порядка;  $\mathbf{k}_*$ ,  $\mathbf{f}_*$  — векторы массовых и поверхностных сил соответственно в задаче об эффектах второго порядка;  $\sigma$  — тензор напряжений Коши.

В (4), (5) зависимость тензора  $\sigma$  от вектора перемещений соответствует классическому закону линейной теории упругости:

$$\sigma(\mathbf{u}) = \lambda \overset{0}{\nabla} \cdot \mathbf{u} E + \mu (\overset{0}{\nabla} \mathbf{u} + \overset{0}{\nabla} \mathbf{u}^T),$$

а роль массовых и поверхностных сил играют векторы

$$\rho_0 \mathbf{k}_* = \overset{0}{\nabla} \cdot (\overset{0}{\nabla} \mathbf{v} \cdot \sigma(\mathbf{v}) + \sigma'(\mathbf{v})), \quad \mathbf{f}_* = -\mathbf{n} \cdot (\overset{0}{\nabla} \mathbf{v} \cdot \sigma(\mathbf{v}) + \sigma'(\mathbf{v})).$$

Задачи (4), (5) получаются из (1), (2) в результате разложения вектора перемещений  $\mathbf{u} = \mathbf{v} + \mathbf{w}$  ( $\mathbf{v}$  — предполагаемое известным решение линейной задачи;  $\mathbf{w}$  компенсирует слагаемые второго порядка) и соответствующего ему разложения тензора напряжений Пиолы:

$$D(\mathbf{u}) = \sigma(\mathbf{v}) + \sigma(\mathbf{w}) + \overset{0}{\nabla} \mathbf{v} \cdot \sigma(\mathbf{v}) + \sigma'(\mathbf{v})$$

( $\mathbf{u}$  — вектор перемещений в нелинейной задаче;  $\sigma'$  — квадратичная составляющая разложения тензора напряжений Пиолы).

Выражение для тензора  $\sigma'$  зависит от вида нелинейно-упругого потенциала  $W$ :

$$\begin{aligned} \sigma' = E [ & \lambda (\boldsymbol{\omega} \cdot \boldsymbol{\omega} + (1/2) \text{tr}(\varepsilon^2)) + ((\overset{0}{\nabla} \cdot \mathbf{u})^2 - \text{tr}(\varepsilon^2)) a + b (\overset{0}{\nabla} \cdot \mathbf{u})^2] + \\ & + c \varepsilon^2 + d \varepsilon^2 \overset{0}{\nabla} \cdot \mathbf{u} + \mu \overset{0}{\nabla} \mathbf{u}^T \cdot \overset{0}{\nabla} \mathbf{u}, \end{aligned}$$

где

$$\begin{aligned} a &= 4 \left[ \left( \frac{\partial}{\partial I_2} + \frac{\partial}{\partial I_3} \right) F \right]^0; & b &= 4 \left[ \left( \frac{\partial}{\partial I_1} + 2 \frac{\partial}{\partial I_2} + \frac{\partial}{\partial I_3} \right)^2 F \right]^0; \\ F &= \frac{\partial W}{\partial I_1} + (I_1 - 1) \frac{\partial W}{\partial I_2} + I_3 \frac{\partial W}{\partial I_3}; & c &= 8 \frac{\partial W^0}{\partial I_3}; \\ d &= -8 \left( \frac{\partial^2 W}{\partial I_1 \partial I_2} + \frac{\partial W}{\partial I_3} + \frac{\partial^2 W}{\partial I_1 \partial I_3} + 3 \frac{\partial^2 W}{\partial I_2 \partial I_3} + \frac{\partial^2 W}{\partial I_3^2} + 2 \frac{\partial^2 W}{\partial I_2^2} \right)^0; \end{aligned}$$

$\boldsymbol{\omega} = (1/2) \overset{0}{\nabla} \times \mathbf{u}$  — вектор поворота;  $I_k(G)$  — главные инварианты меры деформации Коши;  $\varepsilon = (1/2) (\overset{0}{\nabla} \mathbf{u} + \overset{0}{\nabla} \mathbf{u}^T)$  — линейный тензор деформации;  $\lambda, \mu$  — константы Ламе;

верхний индекс 0 означает, что значение берется в отсчетной конфигурации, т. е. после дифференцирования полагается  $I_1 = I_2 = 3$ ,  $I_3 = 1$ .

В случае материала Мурнагана, энергия деформации которого задается функцией

$$W = (1/2)(\lambda + 2\mu)j_1^2 - 2\mu j_2 + (1/3)(l + 2m)j_1^3 - 2mj_1j_2 + nj_3$$

( $j_1 = \text{tr } K$ ;  $j_2 = (1/2)(\text{tr}^2 K - \text{tr } K^2)$ ;  $j_3 = \det K$ ;  $K = (1/2)(G - E)$  — тензор деформаций Коши), константы, входящие в тензор  $\sigma'$ , принимают вид

$$a = -m + n/2, \quad b = l, \quad c = n, \quad d = -n + 2m.$$

В ряде случаев постановка (5) позволяет найти некоторые характеристики деформации без определения вектора  $\mathbf{w}$ , т. е. без решения краевой задачи. В случае кручения такой характеристикой является осевое удлинение цилиндра. (Осевое удлинение цилиндра при отсутствии осевой силы известно как эффект Пойнтинга.) Для его нахождения в [1] использован следующий подход. В общем случае упругого изотропного тела вычисляется силовой тензор для задачи (5):

$$\begin{aligned} B &= \iiint_V \rho_0 \mathbf{k}_* \mathbf{R} dV + \iint_S \mathbf{f}_* \mathbf{R} dS = \\ &= \iiint_V \rho_0 \mathbf{k}_* \mathbf{R} dV - \iint_S \mathbf{n} \cdot (\overset{0}{\nabla} \mathbf{v} \cdot \sigma(\mathbf{v}) + \sigma'(\mathbf{v})) \mathbf{R} dS = \\ &= \iiint_V \overset{0}{\nabla} \cdot (\overset{0}{\nabla} \mathbf{v} \cdot \sigma(\mathbf{v}) + \sigma'(\mathbf{v})) \mathbf{R} dV - \iiint_V \overset{0}{\nabla} \cdot (\overset{0}{\nabla} \mathbf{v} \cdot \sigma(\mathbf{v}) + \sigma'(\mathbf{v})) \mathbf{R} dV - \\ &\quad - \iiint_V (\overset{0}{\nabla} \mathbf{v} \cdot \sigma(\mathbf{v}) + \sigma'(\mathbf{v}))^T \cdot \overset{0}{\nabla} \mathbf{R} dV \end{aligned}$$

( $S, V$  — площадь и объем тела в текущей конфигурации;  $\mathbf{R}$  — радиус-вектор точки в текущей конфигурации). После некоторых преобразований соотношение для силового тензора принимает вид

$$B = - \iiint_V (\sigma(\mathbf{v}) \cdot \overset{0}{\nabla} \mathbf{v}^T + \sigma'(\mathbf{v})) dV.$$

Среднее значение тензора напряжений  $\sigma(\mathbf{w})$  имеет вид

$$\sigma_m(\mathbf{w}) = \frac{1}{V} \iiint_V \sigma(\mathbf{w}) dV = \frac{1}{V} B = -\frac{1}{V} \iiint_V (\sigma(\mathbf{v}) \cdot \overset{0}{\nabla} \mathbf{v}^T + \sigma'(\mathbf{v})) dV,$$

среднее значение линейного тензора деформации —

$$2\mu \varepsilon_m(\mathbf{w}) = \sigma_m(\mathbf{w}) - E \frac{\lambda}{3\lambda + 2\mu} I_1(\sigma_m(\mathbf{w})).$$

Относительное удлинение упругого кругового стержня находится из выражения

$$\Delta L/L = \mathbf{e}_z \cdot \varepsilon_m(\mathbf{w}) \cdot \mathbf{e}_z$$

( $\mathbf{e}_z$  — единичный координатный вектор в отсчетной конфигурации) и для материала Мурнагана вычисляется по формуле

$$\frac{\Delta L}{L} = \frac{\psi^2 r_1^2}{4} \left( \frac{1}{3\lambda + 2\mu} \left( \lambda - \frac{n\lambda}{4\mu} - m \right) - 1 \right), \quad (6)$$

где  $\psi$  — погонный угол закручивания;  $r_1$  — радиус цилиндра;  $n, m$  — константы материала Мурнагана.

**Решение задачи полуобратным методом.** Анализ задачи (1), (2) о кручении кругового стержня полуобратным методом основывается на преобразовании отсчетной (недеформированной) конфигурации в текущую (деформированную) конфигурацию вида

$$R = R(r), \quad \Phi = \varphi + \psi z, \quad Z = \alpha z,$$

где  $\alpha$  — параметр, выражающий удлинение стержня;  $r, \varphi, z$  — цилиндрические координаты отсчетной конфигурации. При этом уравнения равновесия и граничные условия отсутствия напряжений на боковой поверхности выполняются точно, а граничные условия на торцах — в интегральном смысле, обеспечивая отсутствие осевой растягивающей силы и равенство суммарного момента действующих на торце напряжений заданному крутящему моменту. При этом, в частности, определяются параметры  $\psi, \alpha$ , а следовательно, осевое удлинение  $\alpha - 1$ .

В случае материала Мурнагана уравнение для определения  $R(r)$  получается очень громоздким и здесь не приводится. Однако если учесть в нем слагаемые не выше второго порядка, т. е. представить неизвестную функцию  $R(r)$  в виде

$$R(r) = r + \psi^2 f(r) + \dots,$$

то линейное уравнение для определения  $f(r)$  может быть решено в явном виде. Вычисленное с его использованием относительное удлинение с точностью до квадратичных слагаемых имеет вид

$$\frac{\Delta L}{L} = \frac{\psi^2 r_1^2}{4} \left( \frac{1}{3\lambda + 2\mu} \left( 2\lambda - \frac{n\lambda}{4\mu} - m \right) - 1 \right)$$

и отличается от (6) множителем перед параметром  $\lambda$  в скобках. Различие между полученным удлинением и (6) существенно, поэтому определение причин различия результатов имеет большое значение.

Дальнейший анализ основан на точном решении нелинейной задачи о кручении стержня, которое может быть получено для упрощенной модели материала Блейтца и Ко, являющейся одной из моделей сжимаемых нелинейно-упругих сред. В этом случае упругий потенциал  $W$  принимает вид

$$W = (1/2)\mu(I_2/I_3 + 2\sqrt{I_3} - 5).$$

Тензор напряжений Пиолы для материала Блейтца и Ко записывается следующим образом:

$$D = (\mu/I_3)(I_1 E - G + (I_3^{3/2} - I_2)G^{-1}) \cdot C,$$

а краевая задача для определения неизвестной функции изменения радиуса  $R(r)$  записывается в виде

$$R''(r) = \frac{R'(r)R(r)^3 - r^3(R'(r))^4}{3R(r)^3 r}, \tag{7}$$

$$R(0) = 0, \quad -(R'(r_1))^3 R(r_1)\alpha + r_1 = 0,$$

где  $r_1$  — внешний радиус стержня.

Краевая задача (7) имеет аналитическое решение

$$R(r) = \alpha^{-1/4} r.$$

Зависимость  $\alpha(\psi)$  находится из условия отсутствия продольной силы

$$Q = \iint_S \sigma_{zz} ds = 2\pi \int_0^{r_1} \sigma_z R R'(r) dr = 2\pi \left( -\frac{1}{4} \frac{\mu\psi^2 r_1^4}{\alpha^3} + \frac{1}{2} r_1^2 \mu \frac{1 - \alpha^{5/2}}{\alpha^3} \right)$$

( $\sigma_{zz}$  — нормальные напряжения на торце стержня). Таким образом,

$$\alpha(\psi) = (1/4)(16\psi^2 r_1^2 + 32)^{2/5} \approx 1 + (1/5)\psi^2 r_1^2.$$

Следовательно, относительное удлинение вычисляется по формуле

$$(\alpha L - L)/L = \alpha - 1 = (1/5)\psi^2 r_1^2.$$

Установив соответствие между константами материалов Мурнагана и Блейтца и Ко с точностью до эффектов второго порядка в виде

$$n = -8\mu, \quad m = -5\mu, \quad l = -(1/2)\mu,$$

в случае материала Блейтца и Ко формулу (6) можно записать в виде  $\Delta L/L = (3/20)\psi^2 r_1^2$ , тогда как вычисленное полуобратным методом удлинение выражается формулой  $\Delta L/L = (1/5)\psi^2 r_1^2$ . Таким образом, при использовании описанных выше подходов различие значений относительного удлинения составляет 25 %.

Приведенное точное решение нелинейной задачи позволяет установить причину различия при использовании двух подходов.

Уравнения и краевые условия (5) для задачи кручения принимают вид

$$\begin{aligned} \overset{0}{\nabla} \cdot \sigma(\mathbf{w}_1) + \rho_0 \mathbf{k}_* &= 0, \\ \mathbf{e}_r \cdot \sigma(\mathbf{w}_1) &= -2z^2 \mu \psi^2 \mathbf{e}_r - zr \mu \psi^2 \mathbf{e}_z \quad \text{при } r = r_1, \\ \mathbf{e}_z \cdot \sigma(\mathbf{w}_1) &= \mu \psi^2 (r^2 - z^2) \mathbf{e}_z \quad \text{при } z = \pm L/2 \end{aligned} \quad (8)$$

( $L$  — длина цилиндра). Используя найденное полуобратным методом выражение для добавочного вектора  $\mathbf{w}_2$ , запишем эту задачу в виде

$$\begin{aligned} \overset{0}{\nabla} \cdot \sigma(\mathbf{w}_2) + \rho_0 \mathbf{k}_* &= 0, \\ \mathbf{e}_r \cdot \sigma(\mathbf{w}_2) &= -2z^2 \mu \psi^2 \mathbf{e}_r - zr \mu \psi^2 \mathbf{e}_z \quad \text{при } r = r_1, \\ \mathbf{e}_z \cdot \sigma(\mathbf{w}_2) &= -zr \mu \psi^2 \mathbf{e}_r - \mu \psi^2 (z^2 - 1/2 r_1^2) \mathbf{e}_z \quad \text{при } z = \pm L/2. \end{aligned} \quad (9)$$

Из (8), (9) следует, что имеет место несовпадение полей напряжений на торцах, которое и является причиной различия результатов.

Отметим, что задачи (8), (9) записаны в координатах отсчетной конфигурации, принятой в [1].

**Влияние различий напряжений на торцах на решение.** Для оценки влияния граничных условий на величину относительного удлинения рассмотрена задача, представляющая собой разность полученных с использованием описанных выше подходов линейных задач (8), (9) об эффектах второго порядка:

$$\begin{aligned} \overset{0}{\nabla} \cdot \sigma(\boldsymbol{\varsigma}) &= 0, \\ \mathbf{e}_r \cdot \sigma(\boldsymbol{\varsigma}) &= 0, \quad \mathbf{e}_z \cdot \sigma(\boldsymbol{\varsigma}) = -zr \mu \psi^2 \mathbf{e}_r - \mu \psi^2 (r^2 - (1/2)r_1^2) \mathbf{e}_z \quad \text{при } z = \pm L/2. \end{aligned} \quad (10)$$

Здесь  $\boldsymbol{\varsigma} = \mathbf{w}_2 - \mathbf{w}_1$ .

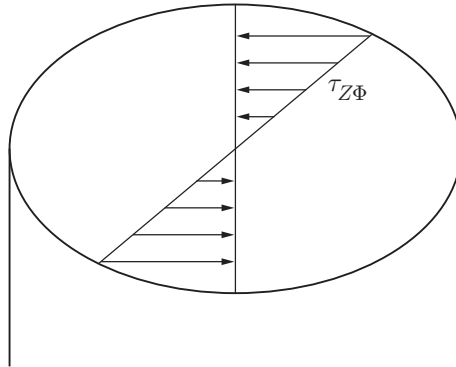


Рис. 1. Распределение касательных напряжений для естественного граничного условия на торце цилиндра

Задача (10) имеет существенный недостаток: граничные условия противоречат условию симметричности тензора напряжений на окружностях, ограничивающих торцы цилиндра, и, следовательно, приводят к несимметричности тензора в некоторой области, охватывающей эти окружности.

Действительно, из (8) следует, что вдоль граничной окружности в силу граничных условий на торце касательные напряжения вычисляются по формуле

$$\tau_{zr} = -\mu r_1 \psi^2 L,$$

а в силу граничных условий на боковой поверхности

$$\tau_{rz} \equiv 0.$$

Таким образом, в задаче (8) имеется нарушение симметричности тензора напряжений, причиной которого является допущение о “мертвом” характере нагрузки (3).

Действительно, если в исходной нелинейной постановке при выводе краевой задачи об эффектах второго порядка вместо граничного условия типа (2), (3), означающего “мертвый” характер внешней нагрузки, взять достаточно естественное граничное условие

$$\mathbf{f} = \mu r \psi \mathbf{e}_\phi \quad (11)$$

(рис. 1), то после перехода от координат текущей конфигурации к принятым в задаче координатам отсчетной конфигурации эта задача становится симметричной и ее решение совпадает с решением полуобратным методом.

Заметим, что в задаче о растяжении стержня равномерно распределенной нагрузкой подход Лурье и полуобратный метод приводят к одинаковым результатам. Естественное для задачи растяжения предположение о “мертвом” характере нагрузки не является физически оправданным для задачи кручения. Пример нагрузки (11) показывает и математическую несостоятельность такого предположения, приводящего к нарушению симметричности тензора напряжений. Действительно, в этом случае соотношение (3) приводит к граничному условию

$$\mathbf{n} \cdot \boldsymbol{\sigma}(\mathbf{v}) = \mathbf{f}^0,$$

или в явном виде

$$\mathbf{n} \cdot \boldsymbol{\sigma}(\mathbf{v}) = \mu r \psi \mathbf{e}_\phi.$$

Однако квадратичные слагаемые в выражении  $\mathbf{f} dO/d\omega$  имеют вид  $-\mu r \psi^2 z \mathbf{e}_r + \mathbf{f}^0$ , а граничные условия на торце —

$$\mathbf{n} \cdot \boldsymbol{\sigma}(\mathbf{w}) = \mathbf{f}_* - \mu r \psi^2 z \mathbf{e}_r.$$

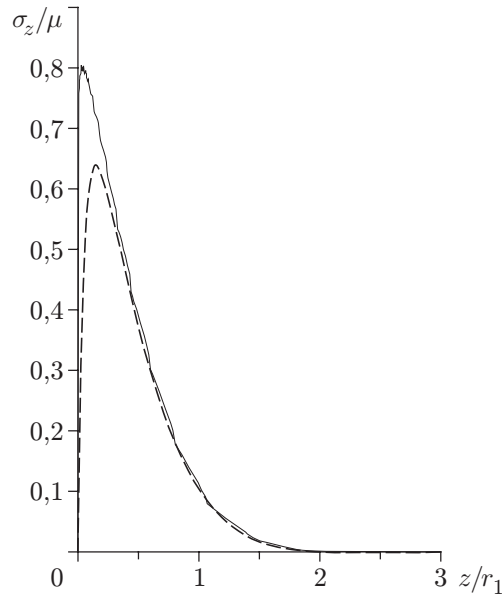


Рис. 2. Распределение нормальных напряжений  $\sigma_z$  по боковой поверхности стержня, построенное методом конечных элементов (сплошная линия) и методом однородных решений (штриховая линия) при  $\nu = 0,25$ ,  $L/r_1 = 12$ ,  $\psi r_1 = 0,3$ ,  $r_1 = 1$

Отсутствующее в граничном условии второе слагаемое является как источником несимметричности, так и причиной различия полученных значений осевого удлинения.

Задача (10) представляет интерес как пример задачи линейной теории упругости, в которой нагрузки имеют нулевые результирующие, но тем не менее вызывают осевое удлинение цилиндра, что на первый взгляд представляется нарушением принципа Сен-Венана. Ниже показано, что это неверно.

Модифицируем задачу, заменив линейное представление касательных напряжений  $\tau_{zr}$  кусочно-линейным, которое согласовано с требованием симметричности  $\sigma$ :

$$\tau_{zr} = \begin{cases} \beta r, & r \in [0, r_1 - \varepsilon], \\ (\beta/\varepsilon)(r_1 - r)(r_1 - \varepsilon), & r \in [r_1 - \varepsilon, r_1], \end{cases} \quad \beta = -(L/2)\psi^2\mu.$$

На рис. 2 представлено распределение нормальных напряжений  $\sigma_z$  по боковой поверхности стержня, построенное методом конечных элементов с применением пакета FlexPDE и методом однородных решений [3] с использованием пакета Maple.

При удалении от торца напряжения быстро убывают и практически обращаются в нуль на расстоянии, равном диаметру вала. Это подтверждается расчетами для цилиндров разной длины и означает, что принцип Сен-Венана (отсутствие напряжений в зоне, достаточно далекой от области приложения самоуравновешенной нагрузки) в данной задаче выполняется.

Рассмотрим цилиндр длиной  $\tilde{L} = L - 2\delta$ , расположенный на расстоянии  $\delta$  от торцов стержня. На рис. 3 приведена зависимость относительного удлинения  $e = \Delta\tilde{L}/\tilde{L}$  этого цилиндра от параметра  $\delta$ . Используя данную зависимость, определим зону, удлинение которой пренебрежимо мало и, следовательно, относительное удлинение которой в исходной задаче кручения зависит лишь от интегральных граничных условий. Расчеты для цилиндров различной геометрии показывают, что такой зоной является область стержня, для которой  $\delta/L > 1/6$ . Полученные результаты означают, что принцип Сен-Венана приме-

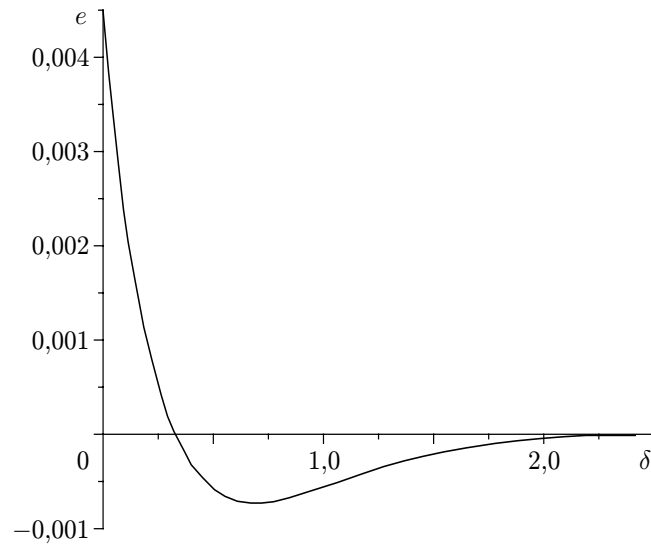


Рис. 3. Зависимость относительного удлинения  $e$  от параметра  $\delta$

ним и к интегральным деформационным характеристикам, но не для тела в целом, а для его некоторой части, достаточно удаленной от областей приложения нагрузок.

#### ЛИТЕРАТУРА

1. **Лурье А. И.** Нелинейная теория упругости. М.: Наука, 1980.
2. **Гавриляченко Т. В., Карякин М. И.** Об особенностях нелинейно-упругого поведения сжимаемых тел цилиндрической формы при кручении // ПМТФ. 2000. Т. 41, № 2. С. 188–193.
3. **Лурье А. И.** Теория упругости. М.: Наука, 1970.

*Поступила в редакцию 9/XII 2005 г.*